

แผนที่เสียงภัยแฝงดินไหวเชิงความน่าจะเป็นของประเทศไทย

นายจิตติ ปาลศรี

วิทยานิพนธ์นี้เป็นส่วนหนึ่งของการศึกษาตามหลักสูตรปริญญาวิศวกรรมศาสตรมหาบัณฑิต  
สาขาวิชาวิศวกรรมโยธา ภาควิชาวิศวกรรมโยธา  
คณะวิศวกรรมศาสตร์ จุฬาลงกรณ์มหาวิทยาลัย  
ปีการศึกษา 2549  
ลิขสิทธิ์ของจุฬาลงกรณ์มหาวิทยาลัย

PROBABILISTIC SEISMIC HAZARD MAP OF THAILAND

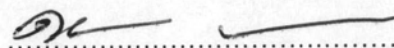
Mr. Chitti Palasri

A Thesis Submitted in Partial Fulfillment of the Requirements  
for the Degree of Master of Engineering Program in Civil Engineering  
Department of Civil Engineering  
Faculty of Engineering Chulalongkorn University  
Academic Year 2006  
Copyright of Chulalongkorn University

492130

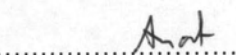
หัวขอวิทยานิพนธ์ แผนที่เสียงภัยแผ่นดินไหวเชิงความน่าจะเป็นของประเทศไทย  
โดย นายจิตติ ปาลศรี  
สาขาวิชา วิศวกรรมโยธา  
อาจารย์ที่ปรึกษา ผู้ช่วยศาสตราจารย์ ดร. อาณัติ เรืองรัตน์

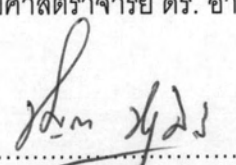
คณะวิศวกรรมศาสตร์ จุฬาลงกรณ์มหาวิทยาลัย อนุมัติให้นับวิทยานิพนธ์ฉบับนี้เป็นส่วน  
หนึ่งของการศึกษาตามหลักสูตรปริญญามหาบัณฑิต

 คณบดีคณะวิศวกรรมศาสตร์  
(ศาสตราจารย์ ดร. ดิเรก ลาวัณย์ศิริ)

คณะกรรมการสอบวิทยานิพนธ์

 ประธานกรรมการ  
(ศาสตราจารย์ ดร. ปันธณ ลักษณะประสีทธิ์)

 อาจารย์ที่ปรึกษา  
(ผู้ช่วยศาสตราจารย์ ดร. อาณัติ เรืองรัตน์)

 กรรมการ  
(รองศาสตราจารย์ ดร. ปัญญา จตุรพันธ์)

 กรรมการ  
(ผู้ช่วยศาสตราจารย์ ดร. ฉัตรพันธ์ จินตนาภกดี)

๔

นายจิตติ ปัลศรี : แผนที่เสี่ยงภัยแผ่นดินไหวเชิงความน่าจะเป็นของประเทศไทย.  
(PROBABILISTIC SEISMIC HAZARD MAP OF THAILAND) อ.ที่ปรึกษา : ผศ.ดร.อานันติ  
เรืองรุคกี, 143หน้า.

งานวิจัยนี้ได้ศึกษาเกี่ยวกับการวิเคราะห์ความเสี่ยงภัยแผ่นดินไหวเชิงความน่าจะเป็นของประเทศไทย เพื่อนำผลที่ได้ไปใช้ออกแบบโครงสร้างต้านทานแผ่นดินไหวให้เหมาะสมกับบริเวณต่างๆ ในประเทศไทย โดยจัดทำเป็นแผนที่เสี่ยงภัยแผ่นดินไหวในประเทศไทยโดยใช้ข้อมูลแผ่นดินไหวตั้งแต่ปี ก.ศ.1912 ถึงปี ก.ศ.2006 จากกรมอุตุนิยมวิทยาและสำนักงานสำรวจงานสำรวจทางธรณีของสหรัฐอเมริกา (US Geological Survey) มาคำนวณขนาดและอัตราการเกิดแผ่นดินไหวในแต่ละพื้นที่ ของแหล่งกำเนิดแผ่นดินไหว แล้วนำข้อมูลที่ได้มาวิเคราะห์หาความเร่งสูงสุดที่ผ่านมา โดยพิจารณา สมการลดTHONแผ่นดินไหวที่ใช้ในแบบตะวันตกของประเทศไทย 2 สมการ สำหรับบริเวณรอย เสื่อมีเพลัง ซึ่งพบว่าให้ค่าใกล้เคียงกับผลการตรวจวัดความเร่งในประเทศไทย และจัดทำแผนที่เสี่ยงภัยแผ่นดินไหวที่มีโอกาสเกิน 10% และ 2% ในรอบ 50 ปี เพื่อแบ่งเขตความรุนแรงแผ่นดินไหวเพื่อใช้ในการออกแบบโครงสร้างต้านทานแผ่นดินไหว

จากการศึกษานี้พบว่า ความเร่งในแนวราบสูงสุดสำหรับชั้นหินที่มีโอกาสเกิน 10% ในรอบ 50 ปี มีค่าประมาณ  $0.15g$  ในบริเวณภาคตะวันตกแบบจังหวัดกาญจนบุรีและตาก ส่วนบริเวณภาคเหนือแบบจังหวัดแม่ฮ่องสอน เชียงใหม่และเชียงราย มีค่าประมาณ  $0.25g$  และบริเวณกรุงเทพมหานครมีค่าประมาณ  $0.02g$  ส่วนความเร่งในแนวราบสูงสุดสำหรับชั้นหินที่มีโอกาสเกิน 2% ใน 50 ปี มีแนวโน้มในลักษณะเดียวกัน แต่ค่าความเร่งสูงขึ้นเป็น 2 เท่าโดยประมาณที่กรุงเทพมหานคร บริเวณภาคเหนือและภาคตะวันตกของประเทศไทย

ภาควิชา.....วิศวกรรมโยธา..... ลายมือชื่อนิสิต.....   
สาขาวิชา.....วิศวกรรมโยธา..... ลายมือชื่ออาจารย์ที่ปรึกษา.....   
ปีการศึกษา..... 2549 .....

# # 4770241121 : MAJOR CIVIL ENGINEERING

KEY WORD: EARTHQUAKE / PROBABILISTIC HAZARD MAP / PEAK GROUND ACCELERATION

CHITTI PALASRI : PROBABILISTIC SEISMIC HAZARD MAP OF THAILAND. THESIS

ADVISOR : ASST.PROF.ANAT RUANGRASSAMEE, 143 pp.

In this study, the analysis on probabilistic seismic hazard in Thailand and neighboring areas is conducted. The seismic hazard assessment will be used as fundamental information for seismic design of structures in Thailand. Earthquakes recorded from 1912 to 2006 by Thai meteorological department and US Geological Survey are used in the analysis. Two attenuation relationships developed for the western USA which give good correlations with actual measured acceleration are used for active tectonic zones in Thailand and the models are weighed equally. The results are presented as a map of peak horizontal acceleration at rock sites with 2% and 10% probability of exceedance in 50 years.

Peak horizontal accelerations for 10% probability of exceedance in 50 years are approximately 0.15g in the western part of Thailand, 0.25g in the northern part of Thailand and 0.02g in Bangkok. For the peak horizontal acceleration for 2% probability of exceedance in 50 years, the peak horizontal acceleration is about twice that of the 10% probability of exceedance in 50 years for most areas.

Department.....CIVIL ENGINEERING..... Student's.....  

Field of study...CIVIL ENGINEERING..... Advisor's..... 

Academic year....2006.....

## กิตติกรรมประกาศ

ขอทราบขอบพระคุณ ผู้ช่วยศาสตราจารย์ ดร. อาณัติ เรืองรัศมี อาจารย์ที่ปรึกษา  
วิทยานิพนธ์ ที่ให้ความรู้และคำแนะนำดีๆ อันเป็นประโยชน์อย่างมากต่องานวิจัยนี้ รวมถึงการ  
ตรวจสอบและแก้ไขวิทยานิพนธ์ฉบับนี้ด้วย

ขอทราบขอบพระคุณ ศาสตราจารย์ ดร. ปนิธาน ลักษณะประดิทธิ ในฐานะประธาน  
กรรมการสอบ และ รองศาสตราจารย์ ดร. ปัญญา จากรุศิริ และ ผู้ช่วยศาสตราจารย์ ดร. ฉัตรพันธ์  
จินตนาภักดี ในฐานะกรรมการสอบ ที่ได้ให้ความกรุณาให้คำแนะนำและข้อเสนอแนะดีๆ อัน  
เป็นประโยชน์ต่อการเขียนวิทยานิพนธ์ และตรวจสอบแก้ไขข้อบกพร่องของวิทยานิพนธ์ฉบับนี้จน  
สำเร็จเรียบร้อยสมบูรณ์ยิ่งขึ้น

ขอขอบพระคุณ คุณบุรินทร์ เวชบันเทิง จากกรมอุตุนิยมวิทยา ที่เอื้อเพื่อข้อมูล  
แผ่นดินไหวสำหรับงานวิจัยนี้ และขอขอบพระคุณ Dr. Mark D. Petersen และ Dr. Charles  
Mueller จาก U.S. Geological Survey และ Dr. Ivan Wong จาก URS Corporation ประเทศ  
สหรัฐอเมริกา ที่ให้คำปรึกษาเกี่ยวกับสมการลดทอนแผ่นดินไหวที่เหมาะสมกับงานวิจัยนี้

ท้ายที่สุดนี้ผู้จัดขอก拉บขอบพระคุณอาจารย์ทุกท่านที่กรุณาอบรมสั่งสอนทั้งใน  
อดีตและปัจจุบัน และที่สำคัญผู้จัดขอกล่าวขอบพระคุณ บิดา มาตรา รวมถึงญาติพี่น้องทุกคนที่  
เคยให้กำลังใจ รวมทั้งรุ่นพี่และรุ่นน้องทุกท่านที่เคยให้กำลังใจและคำแนะนำที่เป็นประโยชน์  
ตลอดจนความช่วยเหลือในทุกๆ ด้านจนสำเร็จการศึกษา

## สารบัญ

หน้า

บทคัดย่อภาษาไทย.....	๑
บทคัดย่อภาษาอังกฤษ .....	๑
กิตติกรรมประกาศ .....	๒
สารบัญ .....	๓
สารบัญตาราง .....	๘
สารบัญรูป .....	๙
 บทที่ 1 บทนำ.....	 1
1.1 ความนำ .....	1
1.2 งานวิจัยที่เกี่ยวข้อง .....	2
1.3 วัตถุประสงค์ของงานวิจัย .....	6
1.4 ขอบเขตของงานวิจัย.....	7
1.5 วิธีการดำเนินงานวิจัย .....	7
 บทที่ 2 หลักการและทฤษฎีที่เกี่ยวข้อง .....	 8
2.1 พื้นฐานเกี่ยวกับแผ่นดินไหว.....	8
2.2 การวิเคราะห์ภัยแผ่นดินไหวเชิงความน่าจะเป็น .....	10
2.3 สมการลดTHONแผ่นดินไหว.....	15
 บทที่ 3 ข้อมูลแผ่นดินไหว .....	 26
3.1 ฐานข้อมูลแผ่นดินไหวและขนาดแผ่นดินไหว .....	26
3.2 การจำจัดเหตุการณ์แผ่นดินไหวที่เกิดก่อนหรือหลังเหตุการณ์แผ่นดินไหวหลัก .....	33
 บทที่ 4 แหล่งกำเนิดแผ่นดินไหวบริเวณผืนแผ่นดินเอกซีตตะวันออกเฉียงใต้ .....	 36
4.1 ข้อมูลแหล่งกำเนิดแผ่นดินไหวในประเทศไทย .....	37
4.2 ข้อมูลแหล่งกำเนิดแผ่นดินไหวในภาคตะวันออกมัณฑนา .....	40
4.3 แหล่งกำเนิดแผ่นดินไหวบริเวณผืนแผ่นดินเอกซีตตะวันออกเฉียงใต้ .....	45
4.4 การหาคุณลักษณะของเขตกำเนิดแผ่นดินไหว .....	55

## หน้า

บทที่ 5 แผนที่เสี่ยงภัยแผ่นดินไหวเชิงความน่าจะเป็นของประเทศไทย .....	72
5.1 การคำนวณหาค่าความเร่งในแนวราบสูงสุดในประเทศไทย .....	73
5.2 การศึกษาความไวของพารามิเตอร์ต่างๆ .....	84
5.3 แผนที่เสี่ยงภัยแผ่นดินไหวในประเทศไทย .....	92
5.4 การเปรียบเทียบกับข้อมูลในอดีต .....	98
บทที่ 6 สรุปผล .....	100
รายการอ้างอิง .....	101
ภาคผนวก .....	107
ประวัติผู้เขียนวิทยานิพนธ์ .....	143

## สารบัญตาราง

ตารางที่	หน้า
2.1 สมการลดทอนแผ่นดินไหวสำหรับบริเวณที่รอยเดือนของแผ่นเปลือกโลกยังมีการเคลื่อนตัวอยู่.....	22
2.2 สมการลดทอนแผ่นดินไหวสำหรับบริเวณที่แผ่นดินไหวเกิดจากการมุดตัวของแผ่นเปลือกโลก.....	23
2.3 สมการลดทอนแผ่นดินไหวสำหรับบริเวณที่แผ่นดินไหวเกิดลึกเข้าไปในแผ่นเปลือกโลก.....	23
 3.1 ข้อมูลที่จัดใหม่โดยให้แผ่นดินไหวเหตุการณ์เดียวกันอยู่ในบรรทัดเดียวกัน.....	27
3.2 สมการที่ใช้แปลงขนาดแผ่นดินไหว $m_b$ $ML$ และ $M_s$ ให้อยู่ในรูป $M_w$ สำหรับข้อมูลแผ่นดินไหวปี ค.ศ.1912 ถึง ค.ศ. 2002.....	29
3.3 สมการที่ใช้แปลงขนาดแผ่นดินไหว $m_b$ $ML$ และ $M_s$ ให้อยู่ในรูป $M_w$ สำหรับข้อมูลแผ่นดินไหวปี ค.ศ.2002 ถึง ค.ศ. 2006.....	29
3.4 แสดงช่วงเวลาและระยะทางจากแผ่นดินไหวหลักขนาด $M$ ที่เป็นแผ่นดินไหวอยู่.....	34
3.5 ตัวอย่างข้อมูลก่อนกำจัดเหตุการณ์ที่เกิดก่อนหรือหลังเหตุการณ์แผ่นดินไหวหลัก.....	35
3.6 ตัวอย่างข้อมูลหลังกำจัดเหตุการณ์ที่เกิดก่อนหรือหลังเหตุการณ์แผ่นดินไหวหลัก.....	35
 4.1 ลักษณะของรอยเดือนมีพลังในประเทศไทย.....	38
4.2 แหล่งกำเนิดแผ่นดินไหว (Seismic source zone) ในบริเวณผืนแผ่นดินເອເຊີຍ ตะวันออกเฉียงใต้.....	46
4.3 ข้อมูลแผ่นดินไหวในโซน A จำแนกทุกๆ 5 ปีและทุกๆ ช่วงขนาดแผ่นดินไหวเท่ากับ 0.25.....	56
4.4 ค่าสะสมของข้อมูลแผ่นดินไหวในโซน A ทุกๆ 5 ปี.....	56
4.5 อัตราการเกิดช้าของแผ่นดินไหวในโซน A.....	57
4.6 ค่าเบี่ยงเบนมาตรฐานของอัตราการเกิดช้าของแผ่นดินไหวในโซน A.....	57
4.7 ความซันจากความสัมพันธ์ของค่าเบี่ยงเบนมาตรฐานกับช่วงเวลาของข้อมูลแผ่นดินไหวในโซน A.....	58
4.8 ช่วงเวลา (ถึงปี ค.ศ.2006) ที่ข้อมูลแผ่นดินไหวมีความสมบูรณ์สามารถนำไปใช้ วิเคราะห์ได้สำหรับโซน A ถึงโซน L.....	59

ตารางที่		หน้า
4.9 ช่วงเวลา (ถึงปี ก.ศ.2006) ที่ข้อมูลแฟ่นดินใหม่มีความสมบูรณ์สามารถนำไปใช้ วิเคราะห์ได้สำหรับโซน M ถึงโซน X.....	60	
4.10 ผลการวิเคราะห์อัตราการเกิดซ้ำของแฟ่นดินใหม่ในแต่ละเขต.....	71	
5.1 เปรียบเทียบค่าความเร่งในแนวราบจากเหตุการณ์แฟ่นดินใหม่เมื่อวันที่ 13 ธันวาคม 2549 ซึ่งมีขนาด 5.1 กับค่าความเร่งในแนวราบที่ได้จากการลดทอนแฟ่นดินใหม่ที่ ให้ในแบบตะวันตกของสหรัฐอเมริกา.....	73	
5.2 เปรียบเทียบค่าความเร่งสูงสุดของแฟ่นดินใหม่ที่มีโอกาสเกิดขึ้น 10 % ในรอบ 50 ปี กับความเร่งที่วัดได้จากเหตุการณ์แฟ่นดินใหม่เมื่อวันที่ 13 ธันวาคม 2549 ขนาด 5.1 ที่อำเภอแม่ริม จังหวัดเชียงใหม่ และเหตุการณ์แฟ่นดินใหม่เมื่อวันที่ 8 ตุลาคม 2549 ขนาด 5.6 ที่บริเวณจังหวัดปะจุบคีรีขันธ์.....	99	

## สารบัญรูป

รูปที่	หน้า
1.1 แผนที่แสดงตำแหน่งและขนาดของแผ่นดินไหวที่ตรวจวัดได้ในประเทศไทยและประเทศข้างเคียง ตั้งแต่ พ.ศ. 2453 ถึง 2539 (Warnitchai และ Lisantono, 1996)	3
1.2 แผนที่แสดงเส้นชั้นความเร่งสูงสุดของแผ่นดินไหวที่ผิดนิโน่ในประเทศไทย (ในหน่วยเท่าของความเร่งความเร่งในมั่งคง, g) โดยมีโอกาสเกินคิดเป็น 10 % ในรอบ 50 ปี (Warnitchai และ Lisantono, 1996).....	3
1.3 แผนที่แสดงเส้นชั้นความเร่งสูงสุดของแผ่นดินไหวที่ผิดนิโน่บริเวณเกาะスマトラ ประเทศอินโดนีเซีย และแหลมมาลายู (ในหน่วยร้อยละของความเร่งโน้มถ่วง, g) โดยมีโอกาสเกินคิดเป็น 10 % ในรอบ 50 ปี (Petersen และคณะ, 2004).....	4
1.4 แผนที่แสดงเส้นชั้นความเร่งสูงสุดของแผ่นดินไหวในสหรัฐอเมริกาปี 1996 (ในหน่วยร้อยละของความเร่งโลก, g) โดยมีโอกาสเกินเป็น 10 % ในรอบ 50 ปี (Frankel และคณะ, 1996).....	5
1.5 แผนที่แสดงเส้นชั้นความเร่งสูงสุดของแผ่นดินไหวในสหรัฐอเมริกาปี 2002 (ในหน่วยร้อยละของความเร่งโลก, g) โดยมีโอกาสเกินเป็น 10 % ในรอบ 50 ปี (Frankel และคณะ, 2002).....	6
2.1 คลื่นแผ่นดินไหวประเภทต่างๆ (จาก <a href="http://www.darylscience.com">http://www.darylscience.com</a> ).....	8
2.2 การหาค่าความนำže เป็นของระยะทางจากแหล่งกำเนิดแผ่นดินไหว.....	10
2.3 การหาค่า a และ b จากกราฟความสัมพันธ์ของอัตราการเกิดแผ่นดินไหว.....	11
2.4 ความสัมพันธ์ระหว่างอัตราการเกิดแผ่นดินไหวกับขนาดของแผ่นดินไหว ตามสมการของ Gutenberg-Richter (1944) โดยให้ค่า a = 3.....	12
2.5 ความสัมพันธ์ระหว่างอัตราการเกิดแผ่นดินไหวกับขนาดของแผ่นดินไหว ตามสมการของ McGuire และ Arabasz (1990) โดยให้ค่า a = 3.....	13
2.6 ความสัมพันธ์ระหว่างค่าความนำže เป็นของการเกิดแผ่นดินไหวขนาด m ที่ค่า b ต่างๆ ตามสมการของ McGuire และ Arabasz (1990) โดยพื้นที่ใต้กราฟมีขนาดเท่ากับ 1.....	14
2.7 การหาความนำže เป็นเนื่องจากสมการลดตอนแผ่นดินไหวที่จะเกิดความเร่งในแนวราบสูงสุด PHA <sub>i</sub> จากแผ่นดินไหวขนาด M <sub>2</sub> ที่ระยะทาง R <sub>1</sub> .....	14

รูปที่	หน้า
2.8 การเปรียบเทียบความเร่งสูงสุดของพื้นดินในระยะต่างๆ ที่ลดทอนลงจาก แหล่งกำเนิดบริเวณรอยเลื่อน ที่ได้จากการวิเคราะห์โดยใช้สมการการลดทอนต่างๆ กับข้อมูลแผ่นดินไหวจาก IRIS DMC บริเวณเกาะスマトラและแหลมมาลายู (Petersen, 2004).....	24
2.9 การเปรียบเทียบความเร่งสูงสุดของพื้นดินในระยะต่างๆ ที่ลดทอนลงจาก แหล่งกำเนิดบริเวณเขตแผ่นดินไหวที่เกิดจากการนัดตัวของแผ่นเปลือกโลก ที่ได้ จากการวิเคราะห์โดยใช้สมการการลดทอนต่างๆ กับข้อมูลแผ่นดินไหวจาก IRIS DMC บริเวณเกาะスマตราและแหลมมาลายู (Petersen, 2004).....	24
2.10 ความสัมพันธ์ระหว่างระยะห่างกับค่าความเร่งในแนวราบสูงสุดตามสมการของ Youngs และคณะ (1997).....	25
3.1 ตัวอย่างรูปแบบของข้อมูลจากการอุดตันยมวิทยา.....	26
3.2 กราฟความสัมพันธ์ระหว่างขนาดของแผ่นดินไหว ML และ mb.....	29
3.3 ขนาดของแผ่นดินไหวในปีต่างๆ จากแหล่งข้อมูล USGS.....	30
3.4 ขนาดของแผ่นดินไหวในปีต่างๆ จากแหล่งข้อมูล ISC.....	30
3.5 ขนาดของแผ่นดินไหวในปีต่างๆ จากแหล่งข้อมูลการอุดตันยมวิทยา.....	30
3.6 ขนาดของแผ่นดินไหวในปีต่างๆ จากแหล่งข้อมูลอื่นๆ ที่กรมอุดตันยมวิทยาร่วม ให้.....	30
3.7 ขนาดของแผ่นดินไหวในปีต่างๆ จากทุกแหล่งข้อมูล.....	30
3.8 แผนที่แสดงขนาดของแผ่นดินไหว เป็น Mw จากแหล่งข้อมูล USGS ISC กรม อุดตันยมวิทยา และแหล่งข้อมูลอื่นๆ ที่รวบรวมโดยกรมอุดตันยมวิทยาตั้งแต่ปี ค.ศ. 1912 ถึง ค.ศ. 2006.....	32
3.9 ความสัมพันธ์ระหว่างช่วงเวลาจากแผ่นดินไหวหลักกับขนาดของแผ่นดินไหวหลัก...	34
3.10 ความสัมพันธ์ระหว่างระยะห่างจากแผ่นดินไหวหลักกับขนาดของแผ่นดินไหวหลัก..	34
4.1 แผนที่แหล่งกำเนิดแผ่นดินไหวบริเวณเอเชียตะวันออกเฉียงใต้ (Natalaya และ คณะ, 1985).....	36
4.2 ตำแหน่งรอยเลื่อนในประเทศไทย แผนที่แสดงเขตแผ่นดินไหวบนพื้นแผ่นดิน เอเชียตะวันออกเฉียงใต้ (ปัญญา จากรุศิริ และคณะ, 2543).....	39

รูปที่	หน้า
4.3 ทิศทางการเคลื่อนที่ของแผ่นเปลือกโลกในบริเวณแนวโถงชั้นคาดตะวันตก เมื่อเทียบกับເຂົ້າເຊີຍຕະວັນອອກເຈິ່ງໄດ້ (ປັບປຸງ ຈາກສູງ ແລະຄະນະ, 2543).....	40
4.4 ลักษณะการเลื่อนตัวของรอยเลื่อนจากແຜ່ນດິນໃຫວະດັບຕື່ນໃນบริเวณแนวໂດັ່ງພໍາ. ....	41
4.5 ลักษณะการเลื่อนตัวของรอยเลื่อนจากແຜ່ນດິນໃຫວະດັບລຶກປານກລາງ ໃນບົຣັບແນວໂດັ່ງພໍາ.....	42
4.6 ຮູບຄ່າຍຮອຍເລື່ອຍສະແກງ (Curray, 2005).....	43
4.7 ແຜນທີ່ອຣນີສັນສູງຂອງທະເລັນດານທາງທອນໄດ້ຂອງປະເທດພໍາແລະທອນເໜືອເກາະສຸມາທິຣາ (Curray, 2005).....	44
4.8 ແຜນທີ່ແລ້ວກຳນົດແຜ່ນດິນໄວ (Seismic source zone) ໃນບົຣັບແນວເີ່ມແຜ່ນດິນເຂົ້າເຊີຍຕະວັນອອກເຈິ່ງໄດ້ (ກາງວິຊາຮຽນວິທີຢາ ຄະະວິທີຢາສັກ ຈຸ່າລັງກຣນີ ມາກົງການ, 2548).....	45
4.9 ແຜນທີ່ແລ້ວກຳນົດແຜ່ນດິນໄວ (Seismic source zone) ບົຣັບແນວລະດິຈຸດທີ່ 0 ດຶງ 25 ອົງສາເໜືອ ແລະລອງຈຸດທີ່ 92 ດຶງ 106 ອົງທາຕະວັນອອກ ປັບປຸງຈາກປັບປຸງ ຈາກສູງ ແລະຄະນະ (2543) ແລະກາງວິຊາຮຽນວິທີຢາ ຄະະວິທີຢາສັກ ຈຸ່າລັງກຣນີ ມາກົງການ (2548).....	48
4.10 ການແປ່ງຂໍ້ມູນແຜ່ນດິນໄວໃນໂທນ A ແລະໂທນ B.....	49
4.11 ການແປ່ງຂໍ້ມູນແຜ່ນດິນໄວໃນໂທນ C ແລະໂທນ D.....	49
4.12 ການແປ່ງຂໍ້ມູນແຜ່ນດິນໄວໃນໂທນ E ແລະໂທນ F.....	50
4.13 ການແປ່ງຂໍ້ມູນແຜ່ນດິນໄວໃນໂທນ G ແລະໂທນ H.....	50
4.14 ການແປ່ງຂໍ້ມູນແຜ່ນດິນໄວໃນໂທນ I ແລະໂທນ J.....	51
4.15 ການແປ່ງຂໍ້ມູນແຜ່ນດິນໄວໃນໂທນ K ແລະໂທນ L.....	51
4.16 ການແປ່ງຂໍ້ມູນແຜ່ນດິນໄວໃນໂທນ M ແລະໂທນ N.....	52
4.17 ການແປ່ງຂໍ້ມູນແຜ່ນດິນໄວໃນໂທນ O ແລະໂທນ P.....	52
4.18 ການແປ່ງຂໍ້ມູນແຜ່ນດິນໄວໃນໂທນ Q ແລະໂທນ R.....	53
4.19 ການແປ່ງຂໍ້ມູນແຜ່ນດິນໄວໃນໂທນ S ແລະໂທນ T.....	53
4.20 ການແປ່ງຂໍ້ມູນແຜ່ນດິນໄວໃນໂທນ U ແລະໂທນ V.....	54
4.21 ການແປ່ງຂໍ້ມູນແຜ່ນດິນໄວໃນໂທນ W ແລະໂທນ X.....	54
4.22 ຄວາມສັມພັນຮັບແບບລອກາຮີທີ່ມະວ່າງຄ່າເບື່ອງແນນມາຕຽບສູງກັບຊ່ວງເວລາ.....	55

รูปที่	หน้า
4.23 ความสัมพันธ์แบบลอการิทึมระหว่างค่าเบี่ยงเบนมาตรฐานกับช่วงเวลาของข้อมูลจากโซน A.....	58
4.24 การหาค่า a และ b ตามสมการของ Gutenberg-Richter สำหรับโซน A.....	61
4.25 การหาค่า a และ b ตามสมการของ Gutenberg-Richter สำหรับโซน B.....	62
4.26 การหาค่า a และ b ตามสมการของ Gutenberg-Richter สำหรับโซน C.....	62
4.27 การหาค่า a และ b ตามสมการของ Gutenberg-Richter สำหรับโซน D.....	63
4.28 การหาค่า a และ b ตามสมการของ Gutenberg-Richter สำหรับโซน E.....	63
4.29 การหาค่า a และ b ตามสมการของ Gutenberg-Richter สำหรับโซน F.....	64
4.30 การหาค่า a และ b ตามสมการของ Gutenberg-Richter สำหรับโซน H.....	64
4.31 การหาค่า a และ b ตามสมการของ Gutenberg-Richter สำหรับโซน J.....	65
4.32 การหาค่า a และ b ตามสมการของ Gutenberg-Richter สำหรับโซน K.....	65
4.33 การหาค่า a และ b ตามสมการของ Gutenberg-Richter สำหรับโซน M.....	66
4.34 การหาค่า a และ b ตามสมการของ Gutenberg-Richter สำหรับโซน N.....	66
4.35 การหาค่า a และ b ตามสมการของ Gutenberg-Richter สำหรับโซน O.....	67
4.36 การหาค่า a และ b ตามสมการของ Gutenberg-Richter สำหรับโซน P.....	67
4.37 การหาค่า a และ b ตามสมการของ Gutenberg-Richter สำหรับโซน T.....	68
4.38 การหาค่า a และ b ตามสมการของ Gutenberg-Richter สำหรับโซน U.....	68
4.39 การหาค่า a และ b ตามสมการของ Gutenberg-Richter สำหรับโซน V.....	69
4.40 การหาค่า a และ b ตามสมการของ Gutenberg-Richter สำหรับโซน W.....	69
4.41 การหาค่า a และ b ตามสมการของ Gutenberg-Richter สำหรับโซน X.....	70
 5.1 แผนผังแสดงขั้นตอนการทำแผนที่เสียงภัยแผ่นดินไหว.....	 72
5.2 การเปรียบเทียบค่าความเร่งในแนวราบที่ต่ำกับแนวราบที่สูงเมื่อวันที่ 13 ธันวาคม 2549 ซึ่งมีขนาด 5.1 กับสมการลดทอนแผ่นดินไหวที่ใช้ในแบบตะวันตกของสหรัฐอเมริกา.....	73
5.3 ความสัมพันธ์ระหว่างความเร่งในแนวราบที่สูงต่ำกับระยะทางเนื่องจากสมการลดทอนแผ่นดินไหวของ Sadigh และคณะ (1997).....	74
5.4 ความหนาแน่นของความน่าจะเป็นของระยะทางจากแหล่งกำเนิดถึงละติจูดที่ 15.5 องศาเหนือ และลองจิจูดที่ 99 องศาตะวันออก.....	75

รูปที่	หน้า
5.5 พังก์ชันความหนาแน่นของความนำจะเป็นของขนาดแผ่นดินไหว.....	79
5.6 กราฟความเสี่ยงภัยแผ่นดินไหวทั้ง 18 แหล่งกำเนิดแผ่นดินไหวที่ดำเนินการ ละติจูด 15.5 องศาเหนือ และลองจิจูด 99 องศาตะวันออก.....	83
5.7 แผนผังแสดงตัวแปรควบคุมที่ใช้ในการศึกษาความไวตามหัวข้อต่างๆ.....	84
5.8 เปรียบเทียบแผนที่เสี่ยงภัยแผ่นดินไหวที่พิจารณาความสมบูรณ์ของข้อมูล แสดง เป็นความเร่งในแนวราบสูงสุด (g) ที่มีโอกาสเกิน 10% ในรอบ 50 ปี โดยสมการ ลดTHONของ Sadigh และคณะ (1997).....	85
5.9 เปรียบเทียบแผนที่เสี่ยงภัยแผ่นดินไหวที่พิจารณาขนาดสูงสุดกรณีต่างๆ แสดงเป็น ความเร่งในแนวราบสูงสุด (g) ที่มีโอกาสเกิน 10% ในรอบ 50 ปี โดยสมการ ลดTHONของ Sadigh และคณะ (1997).....	87
5.10 ความลึกของแผ่นดินไหวที่เกิดขึ้นจากแผ่นดินไหวขนาดต่างๆ .....	89
5.11 เปรียบเทียบแผนที่เสี่ยงภัยแผ่นดินไหวที่พิจารณาระยะจากจุดศูนย์กลาง แสดงเป็น ความเร่งในแนวราบสูงสุด (g) ที่มีโอกาสเกิน 10% ในรอบ 50 ปี โดยสมการ ลดTHONของ Sadigh และคณะ (1997).....	91
5.12 แผนที่เสี่ยงภัยแผ่นดินไหวแสดงเป็นความเร่งในแนวราบสูงสุด (g) ที่มีโอกาสเกิน 10% ในรอบ 50 ปี ที่วิเคราะห์โดยสมการลดTHONแผ่นดินไหวของ Sadigh และ คณะ (1997).....	92
5.13 แผนที่เสี่ยงภัยแผ่นดินไหวแสดงเป็นความเร่งในแนวราบสูงสุด (g) ที่มีโอกาสเกิน 2% ในรอบ 50 ปี ที่วิเคราะห์โดยสมการลดTHONแผ่นดินไหวของ Sadigh และคณะ (1997).....	93
5.14 แผนที่เสี่ยงภัยแผ่นดินไหวแสดงเป็นความเร่งในแนวราบสูงสุด (g) ที่มีโอกาสเกิน 10% ในรอบ 50 ปี ที่วิเคราะห์โดยสมการลดTHONแผ่นดินไหวของ Idriss (1993).....	94
5.15 แผนที่เสี่ยงภัยแผ่นดินไหวแสดงเป็นความเร่งในแนวราบสูงสุด (g) ที่มีโอกาสเกิน 2% ในรอบ 50 ปี ที่วิเคราะห์โดยสมการลดTHONแผ่นดินไหวของ Idriss (1993).....	95
5.16 แผนที่เสี่ยงภัยแผ่นดินไหวแสดงเป็นความเร่งในแนวราบสูงสุด (g) ที่มีโอกาสเกิน 10% ในรอบ 50 ปี ที่วิเคราะห์โดยสมการลดTHONแผ่นดินไหวของ Sadigh และ คณะ (1997) และสมการของ Idriss (1993).....	96

รูปที่		หน้า
5.17	แผนที่เสียงภัยแผ่นดินไหวแสดงเป็นความเร่งในแนวราบสูงสุด (หน่วย g) ที่มีโอกาสเกิน 2% ในรอบ 50 ปี ที่วิเคราะห์โดยสมการลดตอนแผ่นดินไหวของ Sadigh และคณะ (1997) และสมการของ Idriss (1993).....	97